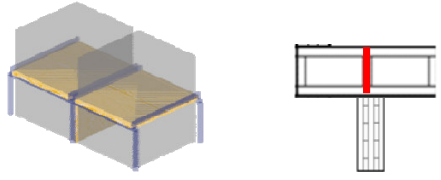


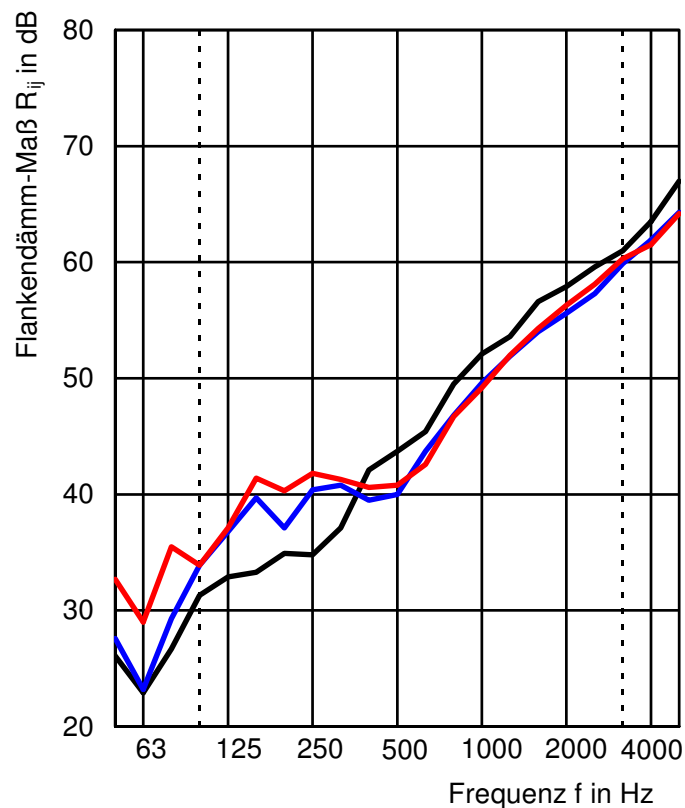
Horizontaler T-Stoß, Decke getrennt



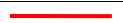
Aufbauvariante	1b_B_01	
Flanke	200 mm Lignatur LFE	$m' = 40 \text{ kg/m}^2$
Trennwand	80 mm BSP	$m' = 39 \text{ kg/m}^2$
$m'_{\text{Wand}} / m'_{\text{Decke}}$	0,98	
Kopplungslänge	$l_{ij} = 4,3 \text{ m}$	
Bauteilfläche Trennwand	$S_{Dd} = 10,8 \text{ m}^2$	
Bauteilfläche Flanke SR	$S_F = 20 \text{ m}^2$	
Bauteilfläche Flanke ER	$S_f = 21,5 \text{ m}^2$	
Empfangsraumvolumen	$V_E = 64,5 \text{ m}^3$	
Senderraumvolumen	$V_S = 65,2 \text{ m}^3$	

Bewertetes Flankendämm-Maß	$R_{Ff,w} = 48 \text{ dB}$
Bewertetes Flankendämm-Maß	$R_{Df,w} = 48 \text{ dB}$
Bewertetes Flankendämm-Maß	$R_{Fd,w}^* = 48 \text{ dB}$

f in Hz	X75 R_{Ff} in dB	X73 R_{Df} in dB	R_{Fd}^* in dB
50	26,1	27,6	32,7
63	22,9	23,2	29,0
80	26,7	29,3	35,5
100	31,3	33,9	33,9
125	32,9	36,8	37,1
160	33,3	39,7	41,4
200	34,9	37,1	40,3
250	34,8	40,4	41,8
315	37,1	40,8	41,3
400	42,1	39,5	40,6
500	43,7	40,0	40,8
630	45,4	43,7	42,6
800	49,5	46,8	46,7
1000	52,1	49,6	49,2
1250	53,6	51,9	52,0
1600	56,6	54,0	54,3
2000	57,9	55,6	56,3
2500	59,6	57,3	58,1
3150	61,0	59,9	60,3
4000	63,5	61,9	61,5
5000	67,0	64,3	64,2

* Flankendämm-Maß berechnet



	Flankendämm-Maß R_{Ff}
	Flankendämm-Maß R_{Df}
	Flankendämm-Maß R_{Fd}



Kopplungsgrößen Stoßtyp 1b_B, Übertragungsweg Ff:

Prüf.Nr.:	Flanke	Trennwand	m_{Wand}^2 / m_{Decke}
1b_B_01	200 LFE	80 BSP	0,98
1b_B_02	200 LFE	2x18 GF / 140 BSP/ 2x18 GF	3,98

Abmessungen
$l_{ij} = 4,3 \text{ m}$
$S_{Dd} = 10,8 \text{ m}^2$
$S_F = 21,5 \text{ m}^2$
$S_i = 20 \text{ m}^2$



1b_B_01				1b_B_02					
f in Hz	$D_{v,Ff}$ in dB		\bar{x}	σ	f in Hz	K_{Ff} in dB		\bar{x}	σ
50	11,5	13,4	12,4		50	6,2	9,9	8,0	
63	13,0	16,7	14,8		63	8,6	11,7	10,1	
80	12,2	11,9	12,0		80	7,3	7,7	7,5	
100	13,1	15,2	14,1		100	7,6	10,2	8,9	
125	11,8	16,5	14,1		125	6,4	12,1	9,3	
160	15,4	18,4	16,9		160	9,8	13,2	11,5	
200	15,1	18,3	16,7		200	10,0	13,4	11,7	
250	18,0	22,0	20,0		250	13,4	17,5	15,4	
315	20,0	25,0	22,5		315	15,9	20,8	18,3	
400	18,5	22,7	20,6		400	14,7	18,6	16,6	
500	16,7	18,1	17,4		500	13,5	14,6	14,0	
630	17,0	27,1	22,0		630	13,5	23,8	18,7	
800	15,1	20,3	17,7		800	11,9	16,9	14,4	
1000	22,4	24,0	23,2		1000	19,2	19,8	19,5	
1250	19,5	22,4	20,9		1250	16,6	19,0	17,8	
1600	20,2	25,8	23,0		1600	17,9	23,2	20,5	
2000	25,4	27,5	26,4		2000	22,5	23,7	23,1	
2500	26,4	29,7	28,1		2500	23,7	26,7	25,2	
3150	27,0	29,9	28,4		3150	24,7	27,0	25,8	
4000	25,5	30,5	28,0		4000	23,9	28,2	26,0	
5000	25,6	33,6	29,6		5000	23,6	31,7	27,6	
$D_{v,Ff,0}$	11,2	15,4	13,3		K_{Ff}	14,3	18,3	16,3	

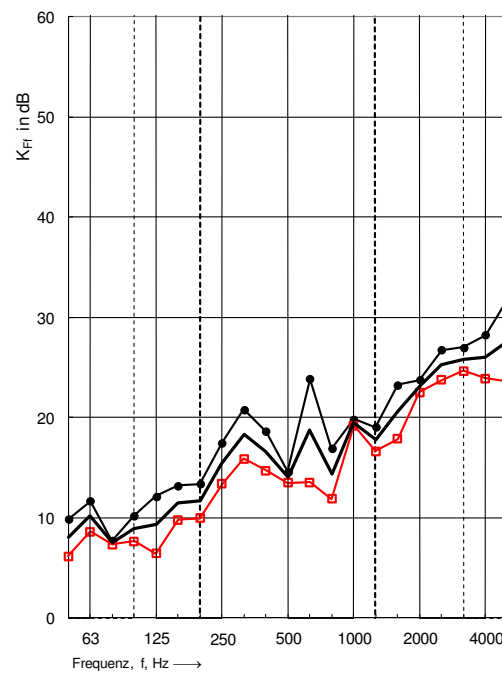
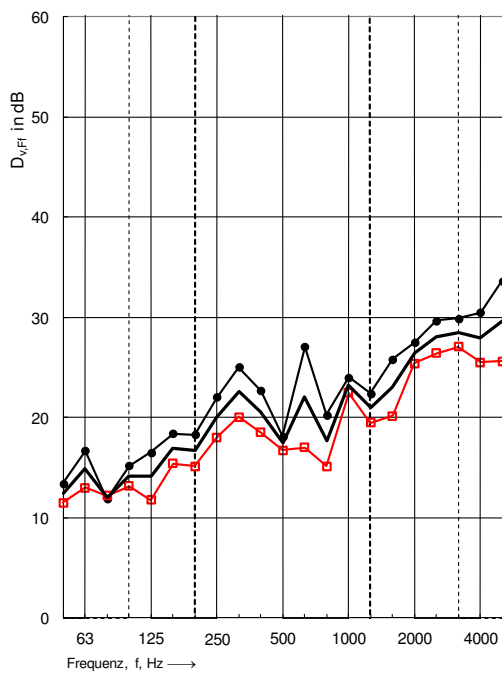
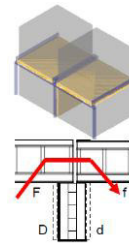


Abbildung 37 $D_{v,ij}$, K_{ij} : Horizontaler T-Stoß – Hohlkastendecke getrennt, Trennbauteil z.T. mit Beplankung: Messdaten $D_{v,Ff}$ mit zugehörigen Messkurven (links); Messdaten K_{Ff} mit zugehörigen Messkurven (rechts)

Gesamt Verlustfaktoren der Stoßbauteile, Stoßtyp 1b_B, Übertragungsweg Ff:

Prüf.Nr.:	Flanke	Trennwand	$\frac{m^2_{Wand}}{m_{Decke}}$
1b_B_01	200 LFE	80 BSP	0,98
1b_B_02	200 LFE	2x18 GF / 140 BSP/ 2x18 GF	3,98

Abmessungen
$l_{ij} = 4,3 \text{ m}$
$S_{Dd} = 10,8 \text{ m}^2$
$S_F = 21,5 \text{ m}^2$
$S_i = 20 \text{ m}^2$



1b_B_01				1b_B_02			
f in Hz	$\eta_{tot,F}$	\bar{x}	σ	f in Hz	$\eta_{tot,f}$	\bar{x}	σ
50	0,102	0,077		50	0,103	0,066	0,085
63	0,096	0,101	0,089	63	0,064	0,083	0,074
80	0,098	0,072	0,085	80	0,063	0,061	0,062
100	0,072	0,070	0,071	100	0,091	0,072	0,081
125	0,067	0,053	0,060	125	0,072	0,058	0,065
160	0,068	0,060	0,064	160	0,063	0,059	0,061
200	0,052	0,047	0,050	200	0,054	0,053	0,053
250	0,041	0,041	0,041	250	0,043	0,041	0,042
315	0,032	0,036	0,034	315	0,034	0,032	0,033
400	0,033	0,033	0,033	400	0,022	0,026	0,024
500	0,022	0,025	0,023	500	0,020	0,021	0,021
630	0,022	0,022	0,022	630	0,019	0,017	0,018
800	0,018	0,018	0,018	800	0,016	0,017	0,017
1000	0,016	0,020	0,018	1000	0,014	0,017	0,016
1250	0,013	0,014	0,014	1250	0,012	0,014	0,013
1600	0,010	0,011	0,010	1600	0,009	0,010	0,010
2000	0,012	0,014	0,013	2000	0,009	0,010	0,009
2500	0,010	0,009	0,009	2500	0,008	0,009	0,008
3150	0,008	0,009	0,008	3150	0,006	0,007	0,007
4000	0,006	0,007	0,006	4000	0,005	0,005	0,005
5000	0,006	0,005	0,006	5000	0,004	0,005	0,004

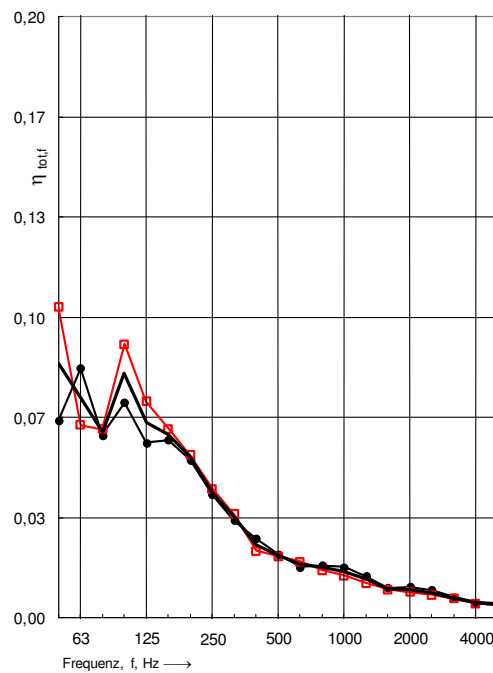
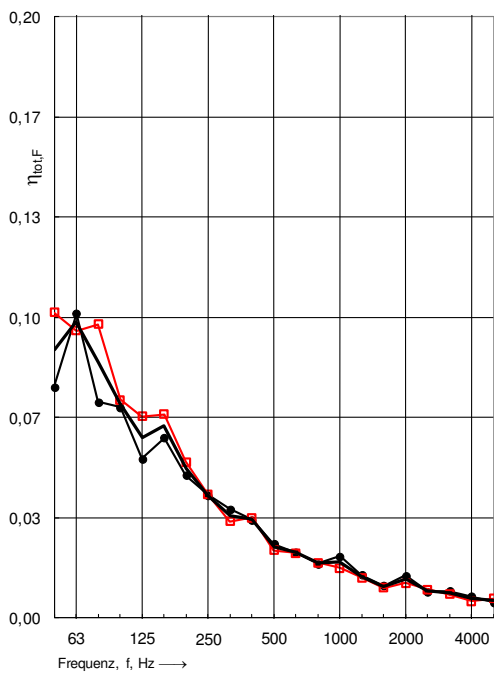
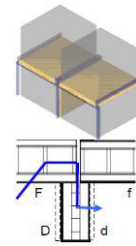


Abbildung 38 η_{tot} : Horizontaler T-Stoß – Hohlkastendecke getrennt, Trennbauteil z.T. mit Beplankung: Messdaten $\eta_{tot,F}$ mit zugehörigen Messkurven (links), Messdaten $\eta_{tot,f}$ mit zugehörigen Messkurven (rechts)



Kopplungsgrößen Stoßtyp 1b_B, Übertragungsweg Fd:

Prüf.Nr.:	Flanke	Trennwand	m_{Wand}^2 / m_{Decke}	Abmessungen
1b_B_01	200 LFE	80 BSP	0,98	$l_{ij} = 4,3 \text{ m}$
1b_B_02	200 LFE	2x18 GF / 140 BSP/ 2x18 GF	3,98	$S_{Dd} = 10,8 \text{ m}^2$
				$S_F = 21,5 \text{ m}^2$
				$S_i = 20 \text{ m}^2$



1b_B_01				1b_B_02					
f in Hz	$D_{v,Fd}$ in dB		\bar{x}	σ	f in Hz	K_{Fd} in dB		\bar{x}	σ
50	18,4	11,1	14,7		50	14,8	8,0	11,4	
63	18,4	12,4	15,4		63	15,4	8,2	11,8	
80	17,3	15,4	16,4		80	13,6	11,7	12,6	
100	17,0	17,2	17,1		100	13,3	13,1	13,2	
125	14,5	15,2	14,9		125	11,0	11,8	11,4	
160	17,3	14,7	16,0		160	12,6	9,8	11,2	
200	13,3	12,7	13,0		200	8,9	8,3	8,6	
250	14,3	14,3	14,3		250	9,6	8,8	9,2	
315	16,3	17,1	16,7		315	12,5	11,5	12,0	
400	14,8	16,7	15,7		400	10,9	11,4	11,2	
500	15,0	14,6	14,8		500	11,3	10,2	10,7	
630	14,9	18,4	16,6		630	10,4	14,1	12,3	
800	15,1	18,1	16,6		800	10,3	13,9	12,1	
1000	18,6	17,7	18,2		1000	14,3	13,2	13,7	
1250	15,1	17,0	16,1		1250	10,3	13,1	11,7	
1600	16,8	16,0	16,4		1600	12,4	13,0	12,7	
2000	19,6	18,9	19,2		2000	14,3	14,9	14,6	
2500	15,7	17,2	16,5		2500	11,0	13,9	12,4	
3150	13,6	19,9	16,8		3150	9,1	16,6	12,8	
4000	12,3	25,7	19,0		4000	9,0	22,4	15,7	
5000	18,4	24,6	21,5		5000	15,3	22,0	18,6	
$D_{v,Fd,n}$	9,8	10,8	10,3		K_{Fd}	11,0	11,6	11,3	

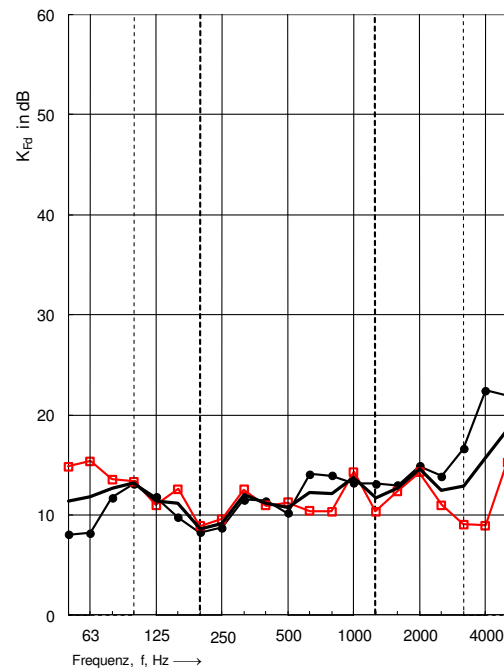
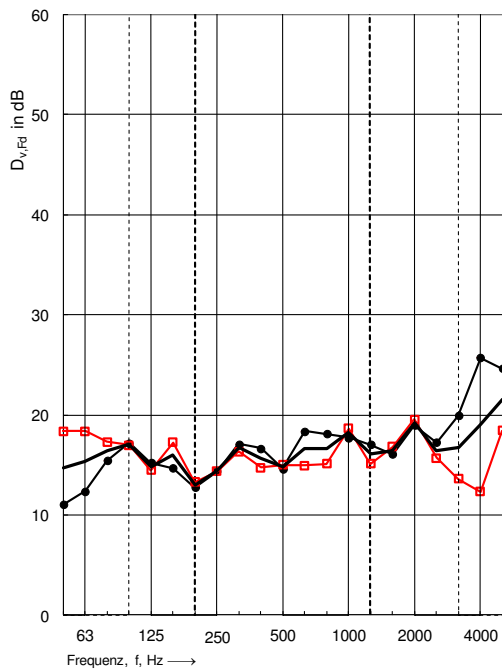
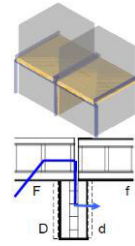


Abbildung 39 $D_{v,ij}$, K_{ij} : Horizontaler T-Stoß – Hohlkastendecke getrennt, Trennbauteil z.T. mit Beplankung: Messdaten $D_{v,Fd}$ mit zugehörigen Messkurven (links), Messdaten K_{Fd} mit zugehörigen Messkurven (rechts)

Gesamt Verlustfaktoren der Stoßbauteile, Stoßtyp 1b_B, Übertragungsweg Fd:

Prüf.Nr.:	Flanke	Trennwand	$\frac{m^2_{Wand}}{m^2_{Decke}}$
1b_B_01	200 LFE	80 BSP	0,98
1b_B_02	200 LFE	2x18 GF / 140 BSP/ 2x18 GF	3,98

Abmessungen
$l_{ij} = 4,3 \text{ m}$
$S_{Dd} = 10,8 \text{ m}^2$
$S_F = 21,5 \text{ m}^2$
$S_i = 20 \text{ m}^2$



1b_B_01				1b_B_02			
f in Hz	$\eta_{tot,F}$	\bar{x}	σ	f in Hz	$\eta_{tot,d}$	\bar{x}	σ
50	0,102	0,077		50	0,071	0,097	0,084
63	0,096	0,101	0,089	63	0,064	0,103	0,083
80	0,098	0,071	0,084	80	0,070	0,094	0,082
100	0,072	0,070	0,071	100	0,072	0,088	0,080
125	0,067	0,053	0,060	125	0,057	0,071	0,064
160	0,068	0,060	0,064	160	0,078	0,096	0,087
200	0,052	0,047	0,050	200	0,070	0,078	0,074
250	0,041	0,041	0,041	250	0,083	0,123	0,103
315	0,032	0,036	0,034	315	0,055	0,111	0,083
400	0,033	0,031	0,032	400	0,042	0,087	0,065
500	0,023	0,023	0,023	500	0,047	0,065	0,056
630	0,019	0,018	0,019	630	0,064	0,061	0,062
800	0,018	0,017	0,017	800	0,062	0,049	0,055
1000	0,016	0,017	0,017	1000	0,044	0,046	0,045
1250	0,013	0,013	0,013	1250	0,052	0,036	0,044
1600	0,010	0,009	0,010	1600	0,047	0,026	0,037
2000	0,012	0,011	0,011	2000	0,048	0,028	0,038
2500	0,010	0,007	0,008	2500	0,035	0,025	0,030
3150	0,008	0,007	0,007	3150	0,032	0,020	0,026
4000	0,006	0,006	0,006	4000	0,020	0,018	0,019
5000	0,006	0,005	0,005	5000	0,014	0,014	0,014

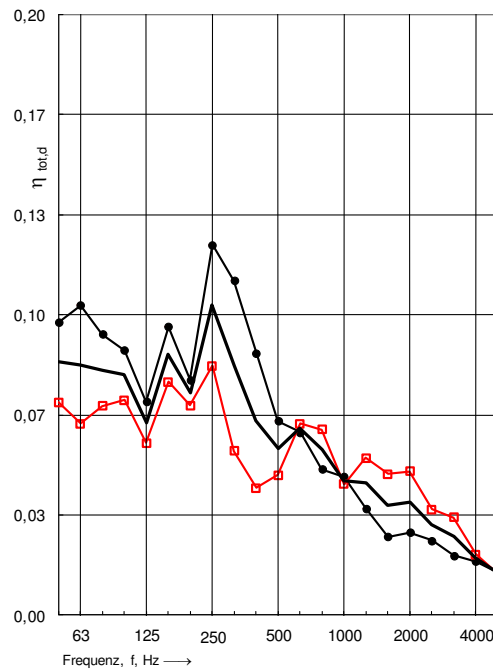
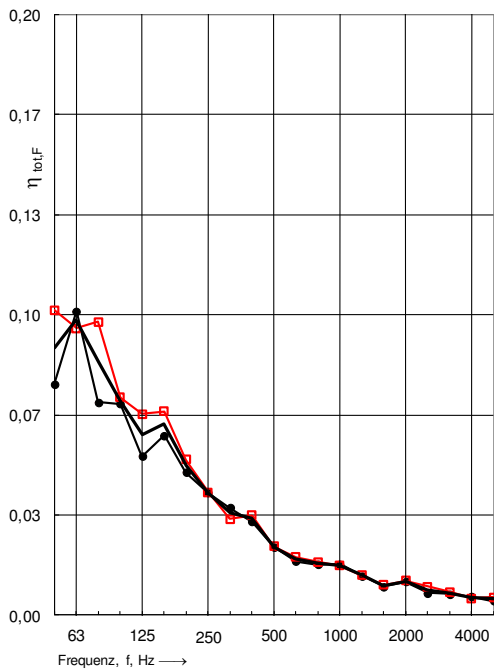


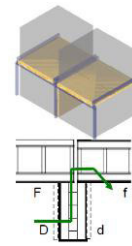
Abbildung 40 η_{tot} : Horizontaler T-Stoß – Hohlkastendecke getrennt, Trennbauteil z.T. mit Beplankung: Messdaten $\eta_{tot,F}$ mit zugehörigen Messkurven (links); Messdaten $\eta_{tot,d}$ mit zugehörigen Messkurven (rechts)



Kopplungsgrößen Stoßtyp 1b_B, Übertragungsweg Df:

Prüf.Nr.:	Flanke	Trennwand	$\frac{m^2_{Wand}}{m^2_{Decke}}$
1b_B_01	200 LFE	80 BSP	0,98
1b_B_02	200 LFE	2x18 GF / 140 BSP/ 2x18 GF	3,98

Abmessungen
$l_{ij} = 4,3 \text{ m}$
$S_{Dd} = 10,8 \text{ m}^2$
$S_F = 21,5 \text{ m}^2$
$S_i = 20 \text{ m}^2$



1b_B_01					1b_B_02				
f in Hz	$D_{v,Df}$ in dB		\bar{x}	σ	f in Hz	K_{Df} in dB		\bar{x}	σ
50	18,4	8,9	13,6		50	14,2	5,7	9,9	
63	16,7	11,9	14,3		63	14,6	8,0	11,3	
80	18,2	17,4	17,8		80	15,6	13,3	14,5	
100	17,2	15,5	16,4		100	13,5	11,1	12,3	
125	16,2	15,5	15,9		125	12,3	11,3	11,8	
160	17,1	16,3	16,7		160	12,6	11,0	11,8	
200	14,6	14,5	14,6		200	10,5	8,9	9,7	
250	16,5	19,8	18,1		250	11,9	14,4	13,1	
315	18,4	16,1	17,3		315	14,6	11,6	13,1	
400	19,4	17,2	18,3		400	16,3	12,5	14,4	
500	13,8	15,3	14,6		500	10,4	10,5	10,4	
630	16,9	15,9	16,4		630	12,9	11,4	12,1	
800	15,8	20,0	17,9		800	11,3	15,6	13,4	
1000	18,7	22,9	20,8		1000	14,2	18,3	16,3	
1250	16,5	23,9	20,2		1250	12,1	19,5	15,8	
1600	18,9	23,3	21,1		1600	14,4	19,8	17,1	
2000	19,1	26,3	22,7		2000	14,6	22,3	18,4	
2500	19,7	28,1	23,9		2500	15,6	24,2	19,9	
3150	18,0	29,2	23,6		3150	14,2	26,1	20,1	
4000	20,7	31,9	26,3		4000	17,3	29,2	23,2	
5000	20,4	34,6	27,5		5000	17,4	32,0	24,7	
$D_{v,Df,n}$	11,4	13,1	12,2		K_{Df}	12,7	13,6	13,2	

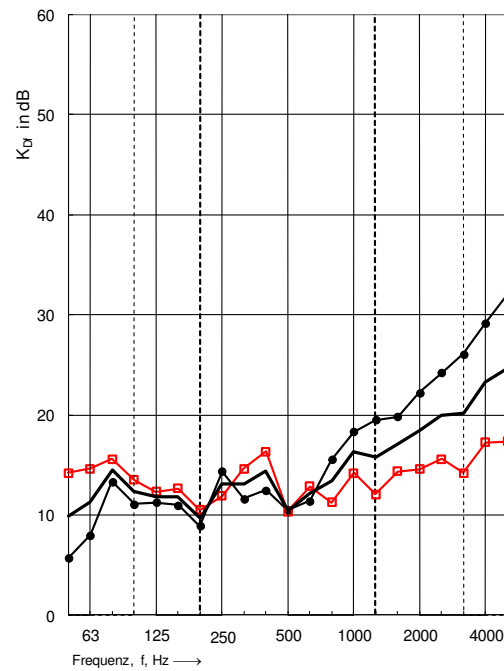
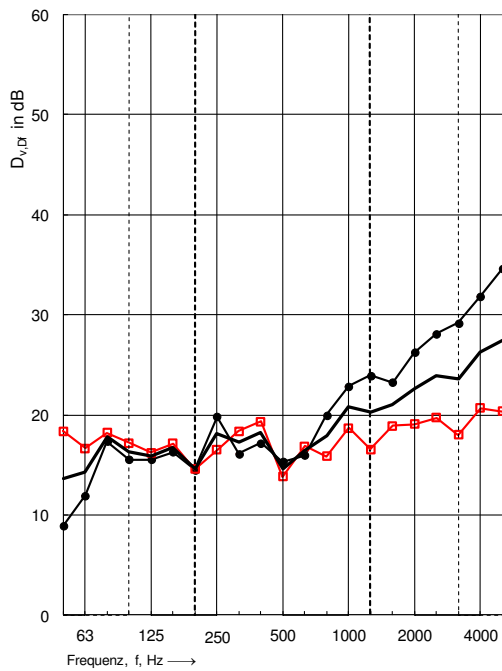
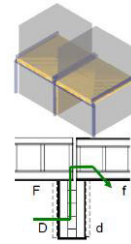


Abbildung 41 $D_{v,ij}$, K_{ij} : Horizontaler T-Stoß – Hohlkastendecke getrennt, Trennbauteil z.T. mit Beplankung: Messdaten $D_{v,Df}$ mit zugehörigen Messkurven (links), Messdaten K_{Df} mit zugehörigen Messkurven (rechts)

Gesamt Verlustfaktoren der Stoßbauteile, Stoßtyp 1b_B, Übertragungsweg Df:

Prüf.Nr.:	Flanke	Trennwand	$\frac{m^2_{Wand}}{m^2_{Decke}}$
1b_B_01	200 LFE	80 BSP	0,98
1b_B_02	200 LFE	2x18 GF / 140 BSP/ 2x18 GF	3,98

Abmessungen
$l_{ij} = 4,3 \text{ m}$
$S_{Dd} = 10,8 \text{ m}^2$
$S_F = 21,5 \text{ m}^2$
$S_I = 20 \text{ m}^2$



1b_B_01				1b_B_02					
f in Hz	$\eta_{tot,D}$		\bar{x}	σ	f in Hz	$\eta_{tot,f}$		\bar{x}	σ
50	0,122	0,141	0,131		50	0,103	0,066	0,085	
63	0,065	0,122	0,093		63	0,064	0,083	0,074	
80	0,069	0,136	0,102		80	0,063	0,061	0,062	
100	0,062	0,110	0,086		100	0,091	0,072	0,081	
125	0,068	0,101	0,085		125	0,072	0,058	0,065	
160	0,081	0,128	0,105		160	0,063	0,059	0,061	
200	0,062	0,130	0,096		200	0,054	0,053	0,053	
250	0,079	0,123	0,101		250	0,043	0,041	0,042	
315	0,054	0,081	0,067		315	0,034	0,032	0,033	
400	0,046	0,085	0,065		400	0,022	0,026	0,024	
500	0,049	0,089	0,069		500	0,020	0,021	0,021	
630	0,055	0,078	0,066		630	0,019	0,017	0,018	
800	0,066	0,056	0,061		800	0,016	0,017	0,017	
1000	0,057	0,049	0,053		1000	0,014	0,017	0,016	
1250	0,056	0,046	0,051		1250	0,012	0,014	0,013	
1600	0,055	0,032	0,043		1600	0,009	0,010	0,010	
2000	0,048	0,031	0,040		2000	0,009	0,010	0,009	
2500	0,037	0,027	0,032		2500	0,008	0,009	0,008	
3150	0,030	0,020	0,025		3150	0,006	0,007	0,007	
4000	0,026	0,017	0,021		4000	0,005	0,005	0,005	
5000	0,020	0,014	0,017		5000	0,004	0,005	0,004	

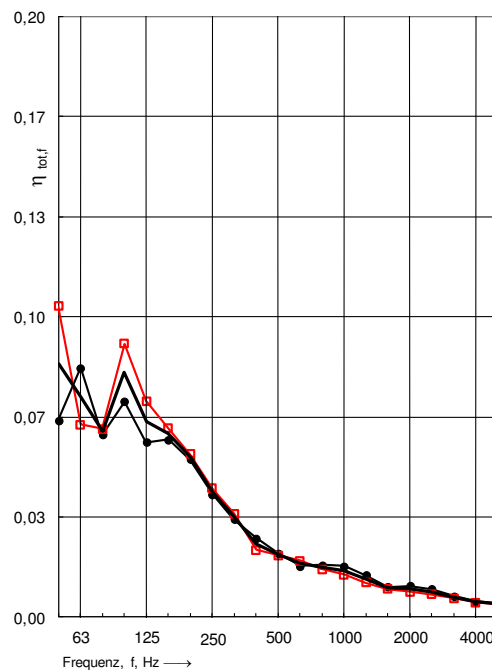
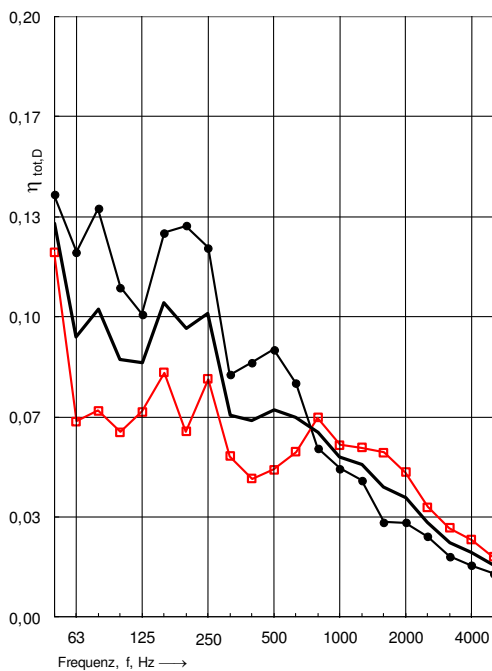


Abbildung 42 η_{tot} : Horizontaler T-Stoß – Hohlkastendecke getrennt, Trennbauteil z.T. mit Beplankung: Messdaten $\eta_{tot,D}$ mit zugehörigen Messkurven (links); Messdaten $\eta_{tot,f}$ mit zugehörigen Messkurven (rechts)